

مدل سازی و بهینه سازی چند هدفه فرایند اکستروژن پیچشی

مهدي كريمي^{۱*}، حامد بختيارى^۲، امين كشاورز^۳

۱- استادیار مهندسی مکانیک، دانشگاه بوعلی سینا، همدان

۲- دانشجوی کارشناسی ارشد مهندسی مکانیک، دانشگاه بوعلی سینا، همدان

۳- دانشجوی کارشناسی ارشد مهندسی مکانیک، دانشگاه آزاد اسلامی واحد قزوین، قزوین

* همدان، صندوق پستی ۶۵۱۷۴۴۱۶۱، m_karimi@basu.ac.ir

چکیده- در این مقاله بهینه سازی چند هدفه فرایند اکستروژن پیچشی برای یک قطعه آلومینیومی بررسی شده است. زاویه اکستروژن، ضریب اصطکاک و سرعت بارگذاری به عنوان متغیرهای طراحی و کرنش ایجاد شده، میزان همگنی کرنش و نیروی اکستروژن به عنوان توابع هدف در نظر گرفته شده‌اند. ابتدا چندین نمونه به وسیله روش المان محدود شبیه‌سازی شدند و با استفاده از نتایج شبیه‌سازی یک شبکه عصبی مصنوعی برای مدل سازی فرایند اکستروژن پیچشی با موفقیت آموزش داده شد. سپس بهینه سازی چند هدفه توسط روش الگوریتم ژنتیک و تلفیق آن با شبکه عصبی مصنوعی آموزش دیده شده انجام شد. نتایج نهایی به صورت نقاط غیرمغلوب پرتو استخراج شده و به کمک دیاگرام‌های سطح محدوده بهترین مقدار برای زاویه اکستروژن، ضریب اصطکاک و سرعت حرکت پانچ به ترتیب در حدود 45° ، 0.7 و 7 mm/s بدست آمد. در خاتمه با تشكیل و آنالیز سطوح پاسخ برای هریک از توابع هدف، نشان داده شد که زاویه اکستروژن و ضریب اصطکاک مؤثرترین پارامترهای فرایند برای اکستروژن پیچشی در دمای اتاق هستند.

کلیدواژگان: اکستروژن پیچشی، بهینه سازی چند هدفه، شبکه عصبی مصنوعی، شبیه سازی عددی، الگوریتم ژنتیک.

Modeling and multiobjective optimization of twist extrusion process

M. Karimi^{1*}, H. Bakhtiari², A. Keshavarz³

1- Assis. Prof., Mech. Eng., BualiSina Univ., Hamedan, Iran

2- MSc. Student, Mech. Eng., BualiSina Univ., Hamedan, Ira.

3-MSc. Student, Mech. Eng., Islamic Azad Univ., Qazvin Branch, Qazvin, Iran

* P. O. B. 651744161 Hamedan, Iran. m_karimi@basu.ac.ir

Abstract- In this paper, the artificial neural network based multi-objective optimization of twist extrusion process is carried out. The target purpose functions are equivalent plastic strain, strain distribution and extrusion force. The design variables are twistangle, friction factor and loading rate. The FEM model of the process is first created and used to create training cases for the ANN, and the well-trained ANN is used as a quick and exact model of the process. Then theoptimization of the design variables is conducted by an integrated genetic algorithm and ANN modelto create a set of optimal solutions (Pareto front). Leveldiagrams are then used to select the best solution from the Pareto front. Finallythe response surface methodology has been used to study the interaction between the design parameters. The obtained results show thatthe best range of twist angle is from 0.7 to 45 degree, friction factor from 0.65 to 0.7 and loading rate from 6.5 to 7 mm/s. Also variables with the largest effect on the process are twist angle and friction factor.

Keywords: Twist extrusion, Multiobjective optimization, Artificial neural network, FEM simulation, Genetic Algorithm.

۱- مقدمه

استفاده می‌شود که معمولاً پرهزینه و زمان بر است. استفاده از روش‌های نوین ترکیبی نظیر شبیه‌سازی عددی به همراه تکنیک‌های بهینه‌سازی و مدل‌سازی شبکه عصبی مصنوعی، این امکان را فراهم می‌کند تا بدون ایجاد هزینه‌های گزارف بتوان بهترین طرح ممکن را ایجاد کرد.

در این مقاله با استفاده از ترکیب نتایج شبیه‌سازی المان محدود، شبکه عصبی مصنوعی^۴ و الگوریتم ژنتیک چند هدفه NSGA-II، بهینه‌سازی فرایند اکستروژن پیچشی مورد بررسی قرار گرفته است. از این رو شرایط هندسی قالب و شرایط بارگذاری اکستروژن به طور همزمان در نظر گرفته شده اند. هم چنین با مدل‌سازی و بررسی سطوح پاسخ، پارامترهای تأثیرگذار در فرایند اکستروژن پیچشی به ترتیب اولویت معرفی شده‌اند.

۲- شبیه‌سازی المان محدود فرایند اکستروژن پیچشی

تاكنوون بررسی‌های عددی محدودی از فرایند اکستروژن پیچشی صورت گرفته است [۱۱-۹.۵]. در این مقاله شبیه‌سازی عددی اکستروژن پیچشی توسط نرم‌افزار المان محدود دی فرم سه‌بعدی^۵ انجام شده است. این نرم‌افزار به صورت ویژه به منظور مدل‌سازی فرایندهای شکل‌دهی فلز به کار می‌رود. شکل سطح مقطع بیلت به صورت مستطیل و با ابعاد^۶ $28 \times 18 \text{ mm}^2$ و ارتفاع آن 50 mm در نظر گرفته شد. بیلت، پانچ و قالب اکستروژن در نرم‌افزار کتیا مدل‌سازی شد و با پسوند (STL) وارد محیط دی فرم شد. پانچ و قالب به صورت کاملاً صلب فرض می‌شود و بنابراین نیازی به تعیین خواص ماده و مش‌ریزی روی آنها نیست. شکل ۱ قالب مورد استفاده را نشان می‌دهد که در آن β زاویه بین راستای اکستروژن و مسیر مارپیچ قالب است و زاویه اکستروژن^۷ نام دارد. برای تعیین منحنی‌های تنش و کرنش نمونه آلومینیومی از مدل جانسون-کوک استفاده شده است.

امروزه استفاده از روش‌های تغییر شکل پلاستیک شدید^۸ به منظور ایجاد مواد نانوساختار حجمی گسترش یافته است. اساس این روش‌ها بر مبنای انباشتگی کرنش و ایجاد ریزساختار در حدود و اندازه‌های نانو است [۱]. روش‌هایی نظیر اکستروژن در کانال‌های مشابه زاویه دار، فشار و اکستروژن متواالی، نورد تجمعی، فرج چند محوره و اکستروژن پیچشی^۹ از روش‌های تغییر شکل پلاستیک شدید هستند که تاکنون ابداع شده اند [۳-۱].

ثبت شده است که ایجاد تنفس برشی ساده در ماده، مؤثرترین راه برای دستیابی به مواد ریزدانه است [۱] که حالت غالب در روش اکستروژن پیچشی و اکستروژن در کانال‌های مشابه زاویه‌دار است با این تفاوت که در روش اکستروژن پیچشی دو صفحه برشی وجود دارد که یکی عمود و دیگری موازی محور اکستروژن است [۴]. از دیگر مزایای روش اکستروژن پیچشی این است که این روش قابلیت اکستروف قطعات توخالی و یا قطعات با سطح مقطع مستطیلی را دارد و علاوه بر آن با چرخش ۹۰ درجه‌ای قطعه در هر پاس می‌تواند کرنش‌های همگن‌تری در قطعه ایجاد کند که این موضوع در مورد مواد مغناطیسی و الکترونیکی بسیار حائز اهمیت است [۵].

تاكنوون مطالعات محدودی روی فرایند اکستروژن پیچشی صورت گرفته است. بیگلزیمر و همکاران به بررسی اثر اکستروژن پیچشی روی میکروساختار بیلت^{۱۰} آلومینیوم خالص پرداختند [۷.۶]. اورلاو و همکاران در سال ۲۰۰۹ به بررسی تغییر سختی ویکرز، مقاومت تسلیم و مقاومت نهایی کشن نمونه آلومینیومی خالص در طی فرایند اکستروژن پیچشی پرداختند [۸]. با این حال مطالعات تجربی و عددی انجام گرفته در زمینه اکستروژن پیچشی بیلت بوده و تاكنوون مطالعه‌ای به منظور خواص نهایی بیلت بوده و تاكنوون مطالعه‌ای به منظور بهینه‌سازی و بررسی تأثیر پارامترهای دخیل در این فرایند صورت نگرفته است. در فرایندهای شکل‌دهی فلز، عموماً از تجربه و سعی و خطاب برای طراحی فرایند

4. ANN

5. Deform-3D

6.Twist angle

1. Severe Plastic Deformation

2. Twist Extrusion

3. Billet

$$f = mk \quad (2)$$

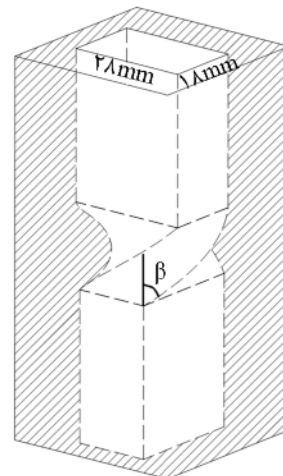
که در رابطه (۲)، m ضریب اصطکاک است و معمولاً بین صفر (حالت بدون اصطکاک) و یک (اصطکاک کامل) قرار دارد. k نیز تنش جریان برشی ماده تغییر شکل یافته است.

به منظور ارزیابی صحت مدل المان محدود، شبیه‌سازی برای یک بیلت آلمینیومی خالص با زاویه اکستروژن $\beta = 52/58^\circ$ انجام شد. ضریب اصطکاک برای تمامی سطوح تماس برابر $m = 0.01$ و سرعت حرکت پانچ 3 mm/s در نظر گرفته شد. قالب به صورت کامل مقید است و محدودیت جریان پلاستیک بیلت توسط سطح داخلی قالب و هم چنین فرض حجم ثابت در شبیه‌سازی اعمال شده است. در شکل ۲ روند تغییرات کرنش و ناهمگنی کرنش پلاستیک ایجاد شده در بیلت به وضوح دیده می‌شود. به طوری که بیشترین کرنش در گوش‌های قطعه که در تماس با سطح داخلی قالب هستند ایجاد می‌شود و به تدریج با حرکت به سمت مرکز سطح مقطع نمونه از مقدار آن کاسته می‌شود. این ناهمگنی کرنش درون قطعه باعث ایجاد گرادیان خواص مکانیکی در قطعه می‌شود که در فرایندهای شکل‌دهی فلز نامطلوب است ولی می‌توان با تغییر قالب و شرایط آزمایش آن را به حداقل رساند. پس از پایان شبیه‌سازی، کرنش نقاط مختلفی که در شکل ۲ نشان داده شده است در سطح مقطع میانی به دست آمد. بر اساس مطالعات تجربی انجام شده [۱۴]، کرنش معادل پلاستیک حداقل (در مرکز سطح مقطع) و در نقاط مختلف با شعاع از مرکز را می‌توان با دقت بسیار خوبی طبق رابطه 3 محاسبه کرد [۱۵].

$$\varepsilon_{\min} = 0.4 + 0.1 \tan(\beta)$$

$$\varepsilon_n = \frac{2r}{\sqrt{3}R} \tan(\beta) \quad (3)$$

در رابطه 3 ، ε_{\min} کرنش در نقطه مرکز سطح مقطعی با شعاع گوش R و ε_n کرنش نقطه‌ای به فاصله r از مرکز سطح مقطع است. شکل ۳ مقایسه ای بین نتایج شبیه‌سازی و مقادیر به دست آمده از روابط تئوری را ارائه می‌دهد. همان گونه که مشهود است نتایج با دقت بسیار خوبی به هم نزدیکند.



شکل ۱ قالب اکستروژن پیچش

معادله ساختاری جانسون کوک طبق رابطه (۱) تعریف می‌شود.

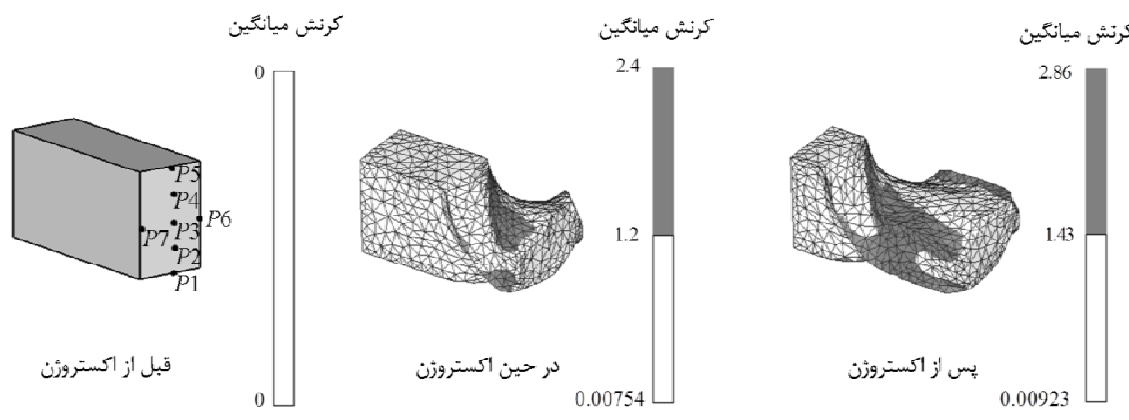
$$\bar{\sigma} = \left[A + B (\bar{\varepsilon})^n \right] \left[1 + C \ln \left(\frac{\bar{\varepsilon}}{\dot{\varepsilon}_0} \right) \right] \left[1 - \left(\frac{T - T_0}{T_m - T_0} \right)^m \right] \quad (1)$$

که در آن، $\bar{\sigma}$ تنش تسلیم در نرخ کرنش غیرصفر، $\bar{\varepsilon}$ کرنش معادل پلاستیک و $\dot{\varepsilon}_0$ نرخ کرنش معادل پلاستیک برای نرخ کرنش $A, B, C, n, m = 1s^{-1}$ است. نیز T, T_0 ضرایب مادی هستند که از آزمایش به دست می‌آیند. دمای کنونی و T_m نیز دمای ذوب است. ضرایب مدل جانسون کوک برای آلمینیوم خالص در جدول ۱ آورده شده است [۱۲]. برای مشبتدی بیلت از 1560.8 المان ۴ وجهی استفاده شده است. برای مدل‌سازی تماس بین بیلت-آلومینیوم و پانچ-بیلت از مدل اصطکاک برشی استفاده شده است زیرا در شبیه‌سازی اکستروژن آلمینیوم این مدل بر مدل‌های دیگر ترجیح داده شده است [۱۳].

جدول ۱ ضرایب مدل جانسون-کوک برای آلمینیوم خالص

A (MPa)	B (MPa)	n	C	m	T_m (K)
۸۰	۱۲۰	۰.۷۳	۰.۰۰۸	۱/۷	۹۹۳

در مدل اصطکاک برشی که گاهی مدل اصطکاک ترسکا نیز نامیده می‌شود، فرض می‌شود که تنش اصطکاکی با تنش جریان برشی ماده متناسب است. این مدل را می‌توان به صورت رابطه (۲) نوشت:



شکل ۲ تغییرات کرنش و شکل بیلت در طی فرایند اکستروژن پیچشی

هندسه قالب و شرایط بارگذاری را مورد بررسی قرار داد. در جدول ۲ متغیرهای طراحی و بازه تغییرات آنها نشان داده شده است. این بازه‌ها به عنوان قیود مسئله نیز تلقی می‌شوند. میزان کرنش پلاستیک ایجاد شده در نمونه، مقدار همگنی کرنش و حداکثر نیروی پانچ نیز به عنوان توابع هدف در نظر گرفته شده‌اند. در این بین مقدار کرنش اعمال شده باید بیشینه شود، زیرا با افزایش آن، اندازه ذرات ریزتر شده و خواص مکانیکی محصول بهبود می‌یابد. هم چنین نیروی لازم برای اکستروژن حداکثر نیروی پانچ) باید کمینه گردد. برای ایجاد ساختاری یکنواخت‌تر در قطعه، توزیع کرنش نیز باید تا حد امکان یکنواخت باشد. برای ارزیابی همگنی کرنش از رابطه (۵) که انحراف معیار کرنش را نشان می‌دهد، استفاده شده است.

$$S.D = \sqrt{\frac{\sum_{i=1}^N (\varepsilon_i - \varepsilon_{ave})^2}{N}} \quad \varepsilon_{ave} = \frac{\sum_{i=1}^N (\varepsilon_i)}{N} \quad (5)$$

جدول ۲ متغیرهای طراحی و بازه تغییرات آنها

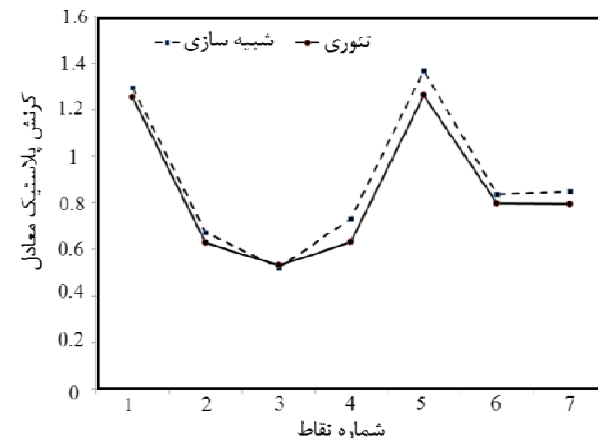
متغیرهای طراحی	بازه تغییرات
زاویه اکستروژن (درجه)	[۲۵ ، ۵۲/۵۸]
ضریب اصطکاک	[۰/۲ ، ۰/۸]
سرعت حرکت پانچ (mm/s)	[۲ ، ۸]

در رابطه (۵)، $S.D$ انحراف معیار کرنش، N تعداد گره‌های موجود روی سطح مقطع المان‌بندی شده است و

۳- تعریف مسئله بهینه سازی چند هدفه

یک مسئله بهینه سازی چند هدفه به صورت رابطه (۴) بیان می‌شود.

Minimize $f(x) = \{f_1(x), f_2(x), \dots, f_m(x)\}; x \in D$ (4)
که در آن، $x = (x_1, x_2, \dots, x_n)$ بردار متغیرهای طراحی و D فضای طراحی ممکن است که توسط قیود مسئله تعیین می‌شود و $f_i(x)$, $i = 1, 2, \dots, m$ توابع هدف را نشان می‌دهد.

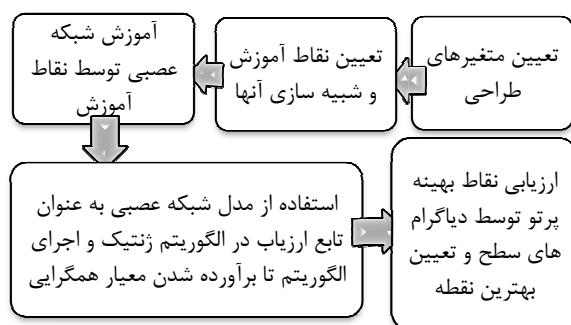


شکل ۳ مقایسه بین نتایج شبیه‌سازی و تئوری

در فرایند اکستروژن پیچشی، زاویه اکستروژن [۴]، ضریب اصطکاک [۱۱] و سرعت بارگذاری [۵] تأثیر زیادی روی مقدار کرنش و توزیع یکنواخت آن در نمونه دارد. لذا با در نظر گرفتن این سه کمیت به عنوان متغیرهای طراحی، می‌توان به طور هم زمان حالت بهینه

و آمار است، کارایی بیشتری نسبت به روش‌های مرسوم کلاسیک که بر پایه گرادیان توابع بنا نهاده شده‌اند دارد. زیرا روش‌های کلاسیک تنها برای توابع پیوسته و منظم کاربرد دارند و علاوه بر آن امکان محبوس شدن در مینیمم‌های محلی در این روش‌ها وجود دارد [۱۶]. الگوریتم ژنتیک یکی از روش‌های بهینه‌سازی تصادفی شناخته شده است که در سال ۱۹۷۵ میلادی توسط هولاند [۱۷] ابداع شد. الگوریتم ژنتیک با قابلیت جستجوی همزمان نواحی مختلف فضای طراحی، می‌تواند نقاط بهینه را برای مسائل پیچیده‌ای نظری مسائل غیرمحاسب و گسسته جستجو کند. دسته‌ای از الگوریتم‌های ژنتیک که بر پایه نقاط پرتو ایجاد شده است، الگوریتم تکاملی بهینه‌سازی چند هدفه نام دارد که قادر است تا هم زمان چند تابع هدف را بهینه کند. تاکنون الگوریتم‌های بسیار زیادی در این زمینه معرفی و مقایسه شده است [۱۸]. الگوریتم NSGA-II که توسط دب [۱۶] ابداع گردید، یکی از کارآمدترین این الگوریتم‌هاست که همگرایی و توزیع مناسب نقاط بهینه را تضمین می‌کند [۱۹].

رونده بهینه‌سازی در شکل ۴ نشان داده شده است. به این صورت که در ابتدا نقاط آموزش به روش آرایه‌های متعمد برای شبیه‌سازی المان محدود انتخاب می‌شوند و پس از شبیه‌سازی برای آموزش شبکه عصبی به کار می‌روند. سپس شبکه آموزش دیده به عنوان تابع هزینه به الگوریتم ژنتیک معرفی می‌شود. الگوریتم NSGA-II تا برآورده شدن معیار همگرایی چرخه را ادامه می‌دهد. پس از پیان بهینه‌سازی، نقاط پرتو توسط دیاگرام‌های سطح بررسی شده و بهترین طرح معرفی می‌شود.



شکل ۴ روندمای بهینه‌سازی چند هدفه الگوریتم ژنتیک با ترکیب شبکه عصبی مصنوعی

؛ بیان گر کرنش پلاستیک ایجاد شده در گره i ام است. ϵ_{ave} نیز میانگین کرنش ایجاد شده روی سطح مقطع است. مقدار $S.D$ کمتر به معنی توزیع یکنواخت‌تر کرنش است. بنابراین این پارامتر نیز باید کمینه شود. لازم به ذکر است که برای ارزیابی جامع‌تری از ناهمنگی کرنش درون قطعه، انحراف معیار کرنش برای چهار سطح مقطع مختلف با فواصل مساوی 5 mm از محل خروجی قالب به دست آمد و میانگین عددی آنها به عنوان انحراف معیار کرنش قطعه، محاسبه گردید. در جدول ۳ توابع هدف و حالات‌های بهینه آنها بیان شده است.

۳-۱-انتخاب روش بهینه‌سازی

در حل مسائل بهینه‌سازی چند هدفه، معمولاً توابع هدف در تعارض با یکدیگرند. به این معنی که با بهبود یک تابع، تابع دیگر دچار افت می‌شود، لذا نمی‌توان هم‌زمان تمامی توابع هدف را در بهترین حالت خود مشاهده کرد. برای بهینه‌سازی هم‌زمان تمام توابع هدف از مفهوم نقاط بهینه پرتو استفاده شده است. نقاط غیر مغلوب پرتو نقاطی هستند که هیچ نقطه دیگری بر آنها غالب نیست. به عبارتی دیگر x_i نسبت به x_j یک نقطه غالب است اگر و تنها اگر رابطه (6) برقرار باشد.

$$(6) \quad f_i(x_1) \leq f_i(x_2), \quad i \in \{1, 2, \dots, n\}$$

$$f_j(x_1) < f_j(x_2), \quad j \in \{1, 2, \dots, n\}$$

در رابطه (6) ، n تعداد توابعی است که باید کمینه شوند. حال اگر هیچ نقطه‌ای در فضای طراحی وجود نداشته باشد که بتواند طبق رابطه (6) بر x_i غلبه کند آنگاه x_i یک نقطه پرتو است. مجموعه نقاط پرتو یک پیشانی پرتو را در فضای توابع هدف ایجاد می‌کند.

جدول ۳ توابع هدف و حالت بهینه آنها

تابع هدف	حالت بهینه
کرنش پلاستیک	بیشینه
انحراف معیار کرنش	کمینه
نیروی اکستروژن	کمینه

به منظور بهینه‌سازی مسائل غیرخطی بیجیده مانند فرایندهای شکل‌دهی فلزات، استفاده از روش‌های تصادفی که الگوریتم جست و جوی آنها بر مبنای احتمال

است. با توجه به تعداد زیاد حالت‌های ممکن برای انجام آزمایش و یا شبیه‌سازی، به منظور آموزش شبکه عصبی مصنوعی از بین تمام ترکیب‌های مختلف در فضای متغیرهای طراحی، تعدادی ترکیب مناسب با استفاده از روش آرایه‌های متعامد انتخاب شدند. آرایه‌های متعامد یک روش آماری برای شناسایی رفتار سیستم با انجام کمترین تعداد ممکن از آزمایش‌ها است که برای تعیین نقاط آموزش شبکه عصبی نیز به کار می‌رود [۲۳]. همان گونه که در جدول ۴ نشان داده شده است برای هر متغیر طراحی پنج سطح مختلف در نظر گرفته شده است که با ترکیب سطوح مختلف طبق روش آرایه‌های متعامد، ۲۵ ترکیب که توزیع مناسی در فضای طراحی دارند، به عنوان داده‌های آموزش برای انجام شبیه‌سازی انتخاب شدند. علاوه بر داده‌های آموزش، ۶ ترکیب دیگر که نقاط ارزیابی نام دارند نیز به صورت تصادفی انتخاب و شبیه‌سازی شدند که از آنها برای بررسی اعتبار شبکه استفاده شده است. به غیر از پارامترهای طراحی، شرایط هندسی و قیود مسئله همانند بخش ۲ است. در جدول ۵ نقاط آموزش (شماره‌های ۱ تا ۵)، نقاط ارزیابی (که با پیشوند T مشخص شده‌اند) و نتایج شبیه‌سازی آنها آورده شده است. برای تعیین ساختار بهینه شبکه عصبی، شبکه‌های مختلفی با تعداد لایه و نرون‌های مختلف مورد ارزیابی قرار گرفتند. معمولاً با افزایش تعداد نرون‌های لایه پنهان از حد معینی، دقت آموزش شبکه افزایش می‌یابد، اما دقت آن در پاسخ به نقاط ارزیابی کاهش می‌یابد. بنابراین در اینجا شبکه‌ای که کمترین خطای را در پاسخ‌گویی به نقاط ارزیابی داشت انتخاب شد. شبکه عصبی مورد استفاده در این مقاله از یک شبکه پیشخور^۲ با الگوریتم پس انتشار خطای^۳ و یک لایه پنهانی که شامل ۳ نرون است ساخته شده است.

جدول ۴ سطوح متغیرهای طراحی

زاویه اکستروژن (mm/s)	سرعت حرکت پانچ اصطکاک	ضریب (درجه)
۲	۰/۲	۲۵
۳	۰/۴	۳۰
۴	۰/۵	۳۵
۶	۰/۶	۴۰
۸	۰/۸	۵۲/۵۸

2. Feed Forward
3. Back Propagation Algorithm

۴- مدل‌سازی با شبکه عصبی مصنوعی

در هر بار اجرای الگوریتم ژنتیک، تعداد زیادی چرخه (گاهی تا چند هزار چرخه) برای رسیدن به حل بهینه تکرار می‌شود و در هر چرخه نقاط متعددی مورد ارزیابی قرار می‌گیرند. برای ارزیابی نقاط در هر تکرار چندین راه وجود دارد. اول استفاده از مدل‌های ریاضی ساده‌سازی شده است که به دلیل فرض‌های ساده‌کننده، برای حل مسائل پیچیده دقیق بسیار کمی دارد. دوم استفاده از شبیه‌سازی‌های عددی برای ارزیابی نقاط است که این روش نیز به دلیل نیاز به تکرارهای فراوان در هر بار اجرای الگوریتم ژنتیک (خصوصاً برای مسائل پیچیده) بسیار زمان بر است.

استفاده از شبکه عصبی مصنوعی راه حل سومی است که برای ارزیابی نقاط در تکرارهای زیاد پیشنهاد می‌شود. شبکه عصبی مصنوعی، یکی از روش‌های هوشمندی است که بر پایه ساز و کار شبکه‌های عصبی مغز می‌تواند با چند تکرار و یادگیری سیستم‌های غیرخطی را با دقت و سرعت خوبی مدل‌سازی کند. در واقع شبکه عصبی یک نگاشت غیر خطی بین متغیرهای ورودی (متغیرهای مستقل) و متغیرهای خروجی (متغیرهای وابسته است) که در آن ضرایب نگاشت از طریق تعدادی داده آموزش تنظیم می‌شود.

مطالعات قبلی محققان نشان می‌دهد که شبکه عصبی به خوبی قادر است تا فرایندهای فرمدهی فلزات را مدل‌سازی کند [۲۰-۲۳]. به عنوان مثال چان و همکاران از ترکیب نتایج شبیه‌سازی المان محدود و شبکه عصبی برای مدل‌سازی فرایند شکل‌دهی فلز استفاده کردند. آنها تعدادی نقطه را طبق روش آرایه‌های متعامد برای شبیه‌سازی آماده کردند و از نتایج شبیه‌سازی برای آموزش شبکه عصبی مصنوعی استفاده کردند [۲۳]. آنها به این نتیجه رسیدند که ترکیب شبیه‌سازی المان محدود و شبکه عصبی مصنوعی علاوه بر کاهش چشمگیر زمان بهینه‌سازی می‌تواند به خوبی برای مدل‌سازی فرایندهای غیرخطی پیچیده نظری فرایندهای شکل‌دهی فلزات به کار برد شود.

۴- آموزش و بررسی اعتبار شبکه عصبی مصنوعی

برای ساخت و آموزش شبکه از نرم‌افزار متلب^۱ استفاده شده

1. Matlab

جدول ۵ نقاط آموزش، ارزیابی و نتایج شبیه‌سازی آنها

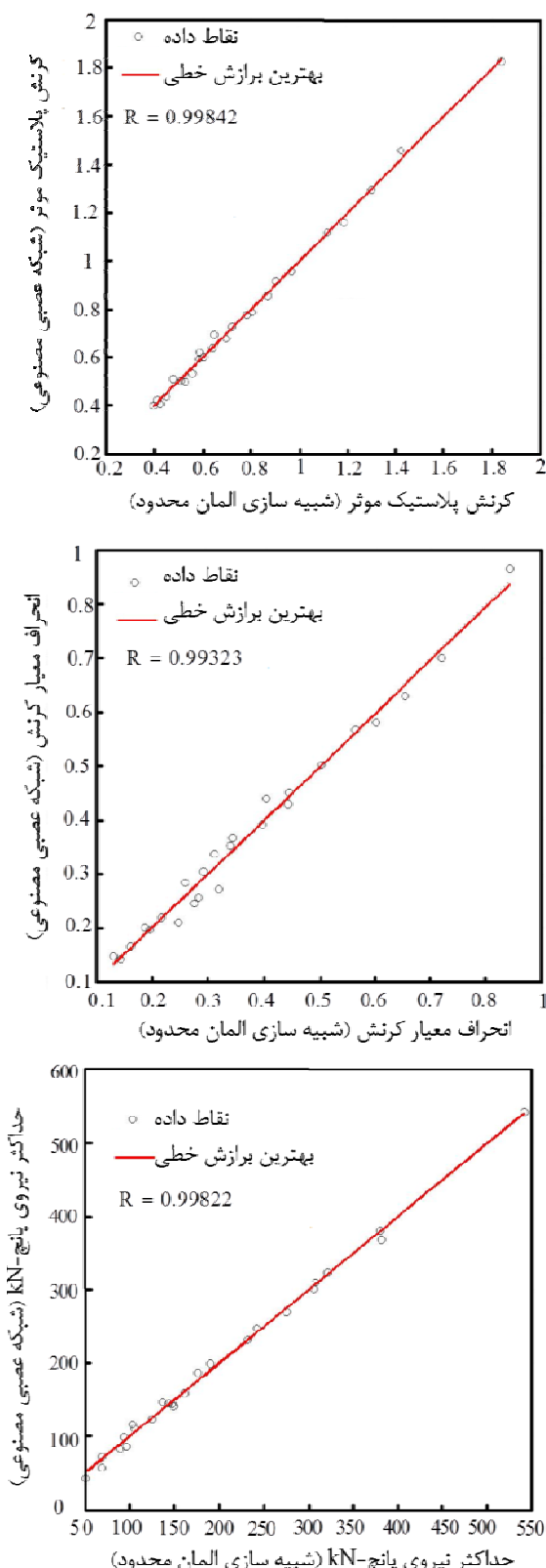
شماره آزمون	زاویه اکستروژن (درجه)	ضریب اصطکاک	سرعت بارگذاری (mm/s)	کرنش میانگین	انحراف معیار (kN)	حداکثر نیروی پانچ کرنش
۱	۲۵	۰/۲	۲	۰/۴۱	۵۰/۴۵۳	۰/۲۴
۲	۲۵	۰/۴	۳	۰/۴۰	۸۹/۵۰۴	۰/۲۳
۳	۲۵	۰/۵	۴	۰/۴۲	۱۰۵/۳۷۰	۰/۲۶
۴	۲۵	۰/۶	۶	۰/۴۵	۱۳۶/۵۸۴	۰/۲۹
۵	۲۵	۰/۸	۸	۰/۶۴	۲۷۵/۳۵۵	۰/۴۴
۶	۳۰	۰/۲	۳	۰/۴۸	۶۸/۸۲۳	۰/۲۹
۷	۳۰	۰/۴	۴	۰/۵۳	۹۳/۷۴۵	۰/۳۵
۸	۳۰	۰/۵	۶	۰/۵۱	۱۲۵/۱۲۴	۰/۳۲
۹	۳۰	۰/۶	۸	۰/۵۶	۱۶۱/۲۹۲	۰/۳۷
۱۰	۳۰	۰/۸	۲	۰/۷۸	۳۰۵/۹۹۵	۰/۵۵
۱۱	۳۵	۰/۲	۴	۰/۵۸	۶۹/۲۲۰	۰/۳۸
۱۲	۳۵	۰/۴	۶	۰/۶۰	۱۰۳/۲۶۱	۰/۴۲
۱۳	۳۵	۰/۵	۸	۰/۵۹	۱۴۳/۶۴۴	۰/۳۶
۱۴	۳۵	۰/۶	۲	۰/۶۵	۱۸۹/۵۹۹	۰/۴۴
۱۵	۳۵	۰/۸	۳	۰/۹۰	۳۲۱/۶۴۷	۰/۶۰
۱۶	۴۰	۰/۲	۶	۰/۷۰	۹۶/۳۴۰	۰/۳۹
۱۷	۴۰	۰/۴	۸	۰/۷۲	۱۴۸/۷۴۷	۰/۴۱
۱۸	۴۰	۰/۵	۲	۰/۸۰	۱۷۶/۰۸۴	۰/۵۰
۱۹	۴۰	۰/۶	۳	۰/۸۷	۲۳۱/۵۹۳	۰/۵۴
۲۰	۴۰	۰/۸	۴	۱/۱۲	۳۸۱/۳۷۸	۰/۷۰
۲۱	۵۲/۵۸	۰/۲	۸	۰/۹۷	۱۴۷/۶۳۶	۰/۵۰
۲۲	۵۲/۵۸	۰/۴	۲	۱/۱۸	۲۴۱/۷۸۳	۰/۶۶
۲۳	۵۲/۵۸	۰/۵	۳	۱/۳۰	۳۰۷/۵۸۳	۰/۷۶
۲۴	۵۲/۵۸	۰/۶	۴	۱/۴۲	۳۷۹/۸۳۳	۰/۸۲
۲۵	۵۲/۵۸	۰/۸	۶	۱/۸۴	۵۴۱/۶۰۲	۰/۹۴
T۱	۲۷	۰/۳	۳	۰/۴۵	۶۴/۰۴۱	۰/۲۷
T۲	۳۳	۰/۴	۵	۰/۶۶	۱۰۸/۶۰۷	۰/۳۲
T۳	۳۷	۰/۷	۶	۱/۰۵	۲۷۷/۴۹۹	۰/۴۹
T۴	۴۸	۰/۲	۵	۱/۰۳	۱۱۹/۳۷۰	۰/۴۳
T۵	۵۰	۰/۵	۲	۱/۳۶	۲۶۷/۸۴۴	۰/۵۷
T۶	۵۲/۵۸	۰/۸	۲	۱/۸۱	۵۰۹/۰۹۰	۰/۹۷

با توجه به پراکندگی خروجی شبکه، داده‌های آموزش نرمالیزه شدنده تا همگنی در یک محدوده قرار گیرند. در چرخه اول یاد گیری، وزن‌های شبکه به صورت تصادفی مقداردهی می‌شوند و با تکرار چرخه‌ها وزن‌ها به گونه‌ای اصلاح می‌شوند تا خروجی شبکه با خطای ناچیزی منطبق بر نتایج داده‌های آموزش شود. خطای شبکه پس از ۵۰۰ تکرار به مقدار $354/۰۰۰$ رسید که نشان

تعداد نرون‌های لایه‌های ورودی و خروجی نیز به ترتیب برابر تعداد متغیرهای طراحی و توابع خروجی یعنی عدد سه است. شبکه به روش لونبرگ–مارکورات^۱ آموزش داده شده است. توابع تانژانت سیگموئید^۲ و خطی به ترتیب توابع محرک لایه‌های پنهان و خروجی هستند.

1. Levenberg–Marquardt

2. Tangent Sigmoid



شکل ۵ رگرسیون خطی بین نتایج خروجی شبکه عصبی و نتایج شبیه‌سازی برای نقاط آموزش

می‌دهد شبکه همگرا شده است.

همان گونه که در شکل ۵ مشهود است، برای ارزیابی دقیق آموزش شبکه، برای هریک از پارامترهای خروجی، رگرسیون خطی بین نقاط شبیه‌سازی شده و خروجی شبکه انجام شده است. نتایج رگرسیون بیان می‌کند که ضریب همبستگی برای تمامی نمودارها بالاتر از $R=0.99$ است که نشان می‌دهد شبکه به خوبی آموزش دیده است. هم‌چنان به منظور بررسی توانایی شبکه در مدل‌سازی نقاط خارج از محدوده آموزش، شش نقطه ارزیابی توسط شبکه عصبی مورد ارزیابی قرار گرفتند. جدول ۶ مقایسه‌ای بین نتایج شبیه‌سازی و خروجی شبکه عصبی برای این شش نمونه را ارائه می‌دهد. میانگین خطای شبکه برای کرنش پلاستیک، انحراف معیار کرنش و حداکثر نیروی پانچ در نقاط ارزیابی به ترتیب برابر $11/46\%$, $8/23\%$, $3/52\%$ است. خطای ارزیابی کرنش پلاستیک و انحراف معیار کرنش ممکن است به دلیل رابطه غیرخطی پیچیده آن با داده‌های خروجی و ناکافی بودن تعداد داده‌های آموزش، بالاتر از خطای ارزیابی نیروی اکستروژن باشد. با این حال طبق جدول ۶ نتایج رگرسیون برای هریک از پارامترهای خروجی در این شش نمونه نشان می‌دهد که ضریب همبستگی برای تمامی آنها بالاتر از $R=0.98$ است. بنابراین می‌توان نتیجه گرفت که شبکه عصبی به خوبی قادر است تا نقاط داخل فضای طراحی را با سرعت و دقیقی ارزیابی کند.

پس از آموزش شبکه عصبی مصنوعی توسط نتایج شبیه‌سازی‌های عددی و بررسی دقیق و اعتبار شبکه ایجاد شده، از آن به عنوان تابع هزینه در الگوریتم ژنتیک استفاده می‌شود. در هر چرخه نسل موجود توسط شبکه عصبی ارزیابی شده و در صورت نیاز نسل جدید بهبود می‌یابد و مجدداً برای ارزیابی به شبکه عصبی فرستاده می‌شود. این چرخه تا زمانی که معیار همگرایی الگوریتم برآورده شود، ادامه می‌یابد. در الگوریتم‌های بهینه‌سازی چند هدفه به جای یک نقطه بهینه، نقاط غالباً پرتو معرفی شود که طراح با توجه به نیاز و ارزیابی خود می‌تواند طرح دلخواه را از بین نقاط پرتو انتخاب کند. در این مقاله از الگوریتم NSGA-II برای بهینه‌سازی استفاده شده است.

جدول ۶ نقاط ارزیابی و نتایج آنها

آزمون	کرنش (FEM)	کرنش (ANN)	کرنش (%)	خطا	S.D (FEM)	S.D (ANN)	خطا (%)	S.D	حداکثر نیرو (kN)(FEM)	حداکثر نیرو (kN)(ANN)	حداکثر نیرو (%) خطا
T1	۰/۴۵	۰/۴۴	۰/۴۲	۱/۴۲	۰/۲۷	۰/۲۷	۰/۱۳	۰/۲۷	۶۴/۰۴	۶۶/۶۴	۴/۱۳
T2	۰/۶۶	۰/۵۶	۱۵/۴	۰/۳۲	۰/۳۵	۰/۳۵	۹/۳۲	۰/۳۲	۱۰۸/۶۱	۱۰۹/۵۵	۰/۵۰
T3	۱/۰۵	۰/۸۴	۱۹/۸	۰/۴۹	۰/۴۹	۰/۵۳	۷/۲۷	۰/۴۹	۲۷۷/۵۰	۲۶۱/۵۰	۵/۵۹
T4	۱/۰۳	۰/۸۴	۱۷/۸	۰/۴۳	۰/۴۳	۰/۵۰	۱۴/۰۷	۰/۴۳	۱۱۹/۳۷	۱۲۰/۶۷	۱/۴۰
T5	۱/۳۶	۱/۱۷	۱۴/۰	۰/۵۷	۰/۵۷	۰/۶۸	۱۷/۹۴	۰/۵۷	۲۶۷/۸۴	۲۷۷/۷۸	۳/۶۵
T6	۱/۸۱	۱/۸۱	۰/۱۸	۰/۹۷	۰/۹۷	۰/۹۸	۰/۶۹	۰/۹۷	۵۰۹/۰۹	۵۳۸/۹۹	۵/۸۹
خطای میانگین	ضریب همبستگی	ضریب همبستگی	ضریب همبستگی	خطای میانگین	خطای میانگین	خطای میانگین	=۸/۲۳%	=۰/۹۸۸	=۰/۹۹۷	=۰/۹۹۷	=۳/۵%
	همبستگی ضریب	همبستگی ضریب	همبستگی ضریب								

دارد به عنوان طرح برتر معرفی می‌شود [۲۴]. این فاصله که اصطلاحاً نرم نامیده می‌شود، معیاری برای انتخاب بهترین نقطه است. نرم‌های مختلفی را می‌توان به این منظور انتخاب کرد که در اینجا از نرم بی‌نهایت (∞ -norm) استفاده شده است.

$$\infty\text{-norm}: f(x)_\infty = \max \{ \bar{f}_i(x) \}, \quad 0 \leq f(x)_\infty \leq 1$$

$$\left\{ \begin{array}{l} \bar{f}_i(x) = \frac{f_i(x) - f_i^{\min}}{f_i^{\max} - f_i^{\min}}, \quad i = 1, \dots, m \\ \bar{f}_i(x) = \frac{f_i^{\max} - f_i(x)}{f_i^{\max} - f_i^{\min}}, \quad i = 1, \dots, n \\ 0 \leq \bar{f}_i(x) \leq 1, \quad i = 1, \dots, s \end{array} \right. \quad (7)$$

در رابطه (7)، m تعداد توابع هدفی است که باید کمینه شوند، n تعداد توابع هدفی است که باید بیشینه شوند و $s = m + n$ تعداد کل توابع هدف است. پس از محاسبه نرم تمام نقاط پرتو، هر متغیر طراحی وتابع هدف به صورت جداگانه بر حسب نرم نقاط رسم می‌شود بهطوری که محور افقی محور مربوط به متغیر طراحی یا تابع هدف مورد نظر و محور عمودی مربوط به مقادیر نرم نقاط پرتو باشد.

شکل ۶ دیاگرام‌های سطح هر یک از متغیرهای طراحی و توابع هدف را نسبت به نرم بی‌نهایت نشان می‌دهد. با توجه به این نمودارها می‌توان مشاهده کرد که کرنش پلاستیک ایجاد شده در تعارض با یکنواختی توزیع کرنش (انحراف معیار کرنش) و حداکثر نیروی پانچ است. هم‌چنین نقطه‌ای که کمترین مقدار نرم را دارد نزدیک‌ترین نقطه به نقطعه ایده‌آل است و بنابراین به عنوان برترین نقطه شناخته می‌شود.

به منظور ترکیب شبکه عصبی و الگوریتم بهینه‌سازی از کد نویسی در محیط متلب استفاده شده است. پارامترهای این الگوریتم در جدول ۷ نشان داده شده است. پس از همگرایی الگوریتم، ۱۸ طرح بهینه به عنوان نقاط پرتو به دست آمد. در جدول ۸ این نقاط به همراه مقادیر خروجی آنها آورده شده است.

جدول ۷ پارامترهای الگوریتم ژنتیک

جمعیت	تولید نسل	ضریب مهاجرت	ضریب	اندازه	تعداد دفعات
۵۰۰	۰/۷	۰/۴	۰/۴	۲۵۰۰	

۵- بهینه‌سازی چند هدفه و انتخاب بهترین طرح

تمامی نقاط پرتو به نوعی نقاط بهینه هستند. بدین معنی که هیچ یک از آنها بر دیگری برتری کامل ندارند ولی نسبت به نقاط دیگر برترند. اما در نهایت یکی از این نقاط باید برای ساخت و اجرا انتخاب شود. استفاده از نمودارهای گرافیکی یکی از آسان‌ترین و مفیدترین راهکارهایی است که به طراح در انتخاب خود کمک می‌کند. این نمودارها با ترسیم نقاط پرتو و پیشانی پرتو، نمایش بهتری از بهینه بودن هر یک از نقاط را می‌دهد.

در این مقاله از دیاگرام‌های سطح^۱ برای انتخاب بهترین طرح ممکن از بین نقاط پرتو استفاده شده است. دیاگرام سطح که در سال ۲۰۰۸ برای مسائل بهینه‌سازی چند هدفه توسط بلاسکو و همکاران معرفی شد یکی از روش‌هایی است که در آن فاصله نقاط پرتو نسبت به نقطه ایده‌آل (بهترین طرح ممکن) طبق رابطه (7) ارزیابی شده و نقطه‌ای که کمترین فاصله را

2. Norm

1. Level Diagram

جدول ۸ نقاط بهینه پرتو و مقادیر خروجی آنها

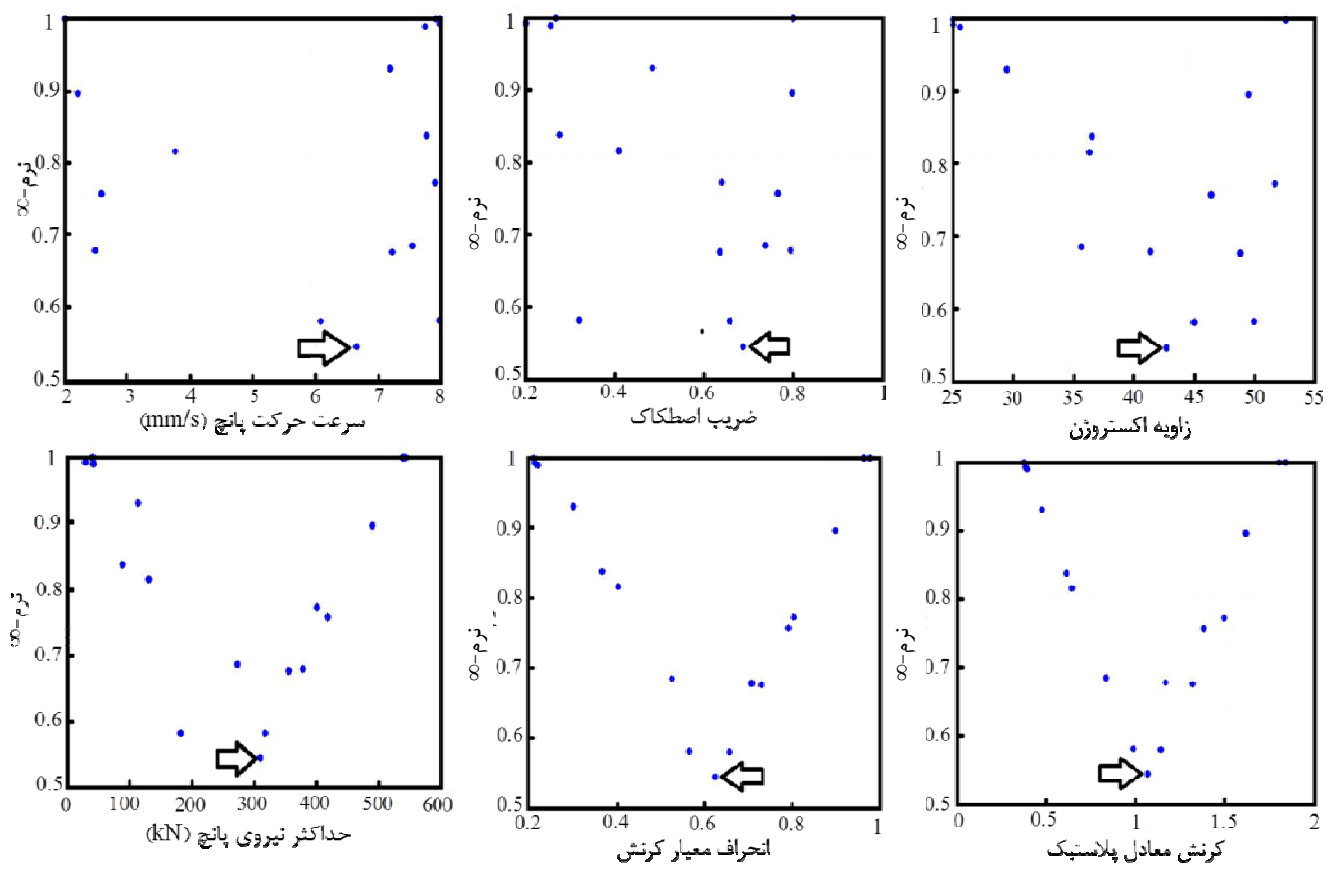
ردیف نقطه	شماره	نقاط پارتو						
		زاویه اکستروژن (درجه)	ضریب اصطکاک	سرعت بارگذاری (mm/s)	کرنش میانگین			
ردیف نقطه	شماره	نقاط پارتو	زاویه اکستروژن (درجه)	ضریب اصطکاک	سرعت بارگذاری (mm/s)	کرنش میانگین	انحراف معیار کرنش	حداکثر نیروی پانچ (kN)
۱	۵۲/۵۸	۰/۸۰	۷/۹۳	۱/۸۴	۰/۴۰	۱۳۰/۴۹		
۲	۲۵	۰/۲۰	۸	۰/۳۹	۰/۶۶	۳۱۷/۴۷		
۳	۵۲/۵۸	۰/۸۰	۲/۰۱	۱/۸۱	۰/۲۱	۴۰/۴۶		
۴	۴۹/۹۷	۰/۳۲	۷/۹۸	۰/۹۹	۰/۸۰	۴۰۱/۳۴		
۵	۲۵	۰/۲۷	۸	۰/۳۸	۰/۲۲	۴۱/۰۸		
۶	۴۹/۵	۰/۸۰	۲/۲۱	۱/۶۲	۰/۷۱	۳۷۷/۹۴		
۷	۴۶/۴۳	۰/۷۶	۲/۵۹	۱/۳۸	۰/۳۷	۸۸/۰۶		
۸	۴۸/۷۹	۰/۶۴	۷/۲۳	۱/۳۲	۰/۵۲	۲۷۳/۷۶		
۹	۳۶/۳۳	۰/۴۱	۳/۷۶	۰/۶۵	۰/۳۰	۱۱۳/۵۶		
۱۰	۴۴/۹۵	۰/۶۶	۶/۰۸	۱/۱۴	۰/۶۲	۳۰۹/۳۴		
۱۱	۲۵	۰/۲۷	۸	۰/۳۸	۰/۴۰	۱۳۰/۴۹		
۱۲	۵۱/۶۶	۰/۶۴	۷/۹۲	۱/۵۰	۰/۶۶	۳۱۷/۴۷		
۱۳	۲۵/۶۱	۰/۲۶	۷/۷۶	۰/۳۹	۰/۲۱	۴۰/۴۶		
۱۴	۴۱/۳۵	۰/۷۹	۲/۴۹	۱/۱۷	۰/۸۰	۴۰۱/۳۴		
۱۵	۳۶/۵۵	۰/۲۸	۷/۷۸	۰/۶۱	۰/۲۲	۴۱/۰۸		
۱۶	۳۵/۶۸	۰/۷۴	۷/۵۵	۰/۸۴	۰/۷۱	۳۷۷/۹۴		
۱۷	۲۹/۴۳	۰/۴۸	۷/۱۹	۰/۴۸	۰/۳۷	۸۸/۰۶		
۱۸	۴۲/۶۷	۰/۶۹	۶/۶۶	۱/۰۷	۰/۵۲	۲۷۳/۷۶		

این دید را برای طراح مسئله ایجاد کند. روش سطح پاسخ یک روش ریاضی برای مدل‌سازی و بررسی تأثیر پارامترهای یک مسئله روی پاسخ آن مسئله است. در این مقاله با به کارگیری روش سطح پاسخ، میزان اهمیت پارامترهای طراحی و تأثیر واکنش بین پارامترهای طراحی روی توابع هدف بررسی شده است. در ابتدا برای طراحی آزمایش، با استفاده از روش طرح مرکزی با ترکیب متغیرهای طراحی تعداد ۱۶ آزمایش در نظر گرفته شد. سپس با استفاده از شبکه عصبی آموزش دیده، پاسخ مربوط به هریک از این آزمایش‌ها به دست آمد. در خاتمه با برآش یک چندجمله‌ای درجه دو بین تمامی نقاط آزمایش، معادله سطح مربوط به هریک از توابع هدف را پیدا می‌کند. چند جمله‌ای درجه دو که عموماً در روش سطح پاسخ به کار گرفته می‌شود به صورت رابطه (۸) نوشته می‌شود.

$$Y = \beta_0 + \sum_{i=1}^3 \beta_i X_i + \sum_{i=1}^3 \beta_{ii} X_i^2 + \sum_{i < j} \beta_{ij} X_i X_j \quad (8)$$

با توجه به نمودارهای شکل ۶، کمترین نرم در حدود ۰/۵۴ و متعلق به نقطه‌ای است که زاویه اکستروژن قالب، ضریب اصطکاک و سرعت حرکت پانچ برای این نقطه به ترتیب در محدوده $[0/65, 0/7]$ ، $[42^\circ, 45^\circ]$ و $[6/5, 7] \text{ mm/s}$ قرار دارد که در نتیجه کرنش پلاستیک مؤثر، انحراف معیار کرنش و حداکثر نیروی پانچ به ترتیب در محدوده $[0/63, 0/63]$ ، $[1, 1/2]$ و $[300, 310] \text{ kN}$ نگاهنی نرم در کرآن‌های بالا و پایین متغیرهای طراحی نشان می‌دهد که انتخاب در این نواحی معقول نیست.

۶- بررسی اهمیت پارامترها به روش سطح پاسخ
شناخت اثر تغییر متغیرهای طراحی بر خروجی فرایند بسیار سودمند است زیرا به طراح کمک می‌کند تا در صورت نیاز با دیدی بهتر، متغیرهای طراحی را تغییر دهد و طرح مورد نظر را ایجاد کند. در این مقاله با استفاده از روش آماری سطح پاسخ سعی شده است تا



شکل ۶ دیاگرام‌های سطح مربوط به پارامترهای طراحی و توابع هدف

به طور قابل ملاحظه‌ای تغییر می‌دهد، اما با تغییر سرعت حرکت پانچ، تغییر چندانی در پاسخ ایجاد نمی‌شود. یکی از دلایلی که ممکن است اثر سرعت حرکت پانچ را بی‌اهمیت جلوه دهد این است که تأثیر نرخ کرنش در دمای اتاق بر رفتار تسلیم فلزات کم است.

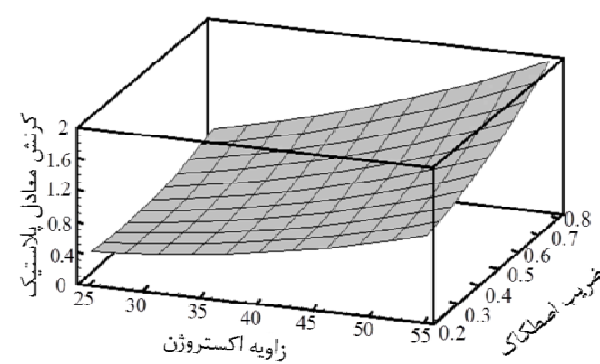
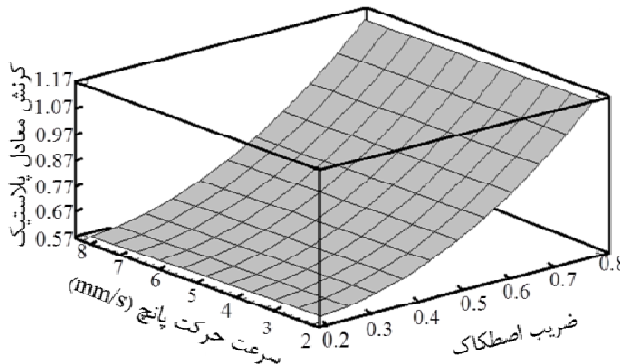
مطالعه موسوی و همکاران [۵] روی آلیاژ تیتانیوم نشان می‌دهد که در دمای کاری $700 - 900^{\circ}\text{C}$ ، افزایش سرعت پانچ باعث افزایش قابل توجه کرنش پلاستیک و نیروی اکستروژن می‌شود. علاوه بر این ساختار کریستالی فلزات نیز بر روی رفتار آنها بی‌تأثیر نیست. فلزاتی مانند آلومینیوم و مس که از گروه فلزات با ساختار کریستالی FCC هستند در مقابل فلزاتی با ساختار کریستالی BCC مانند آهن خالص و تانتالیوم، حساسیت کمتری نسبت به نرخ کرنش از خود نشان می‌دهند.

که در رابطه (۸)، $\beta_0, \beta_i, \beta_{ii}$ و β_{ij} ضرایب برآراش چندجمله‌ای است که از روش حداقل مربعات به دست می‌آید. X_i و X_j متغیرهای مستقل طراحی‌اند و Y متغیر پاسخ (دراینجا تابع هدف) است.

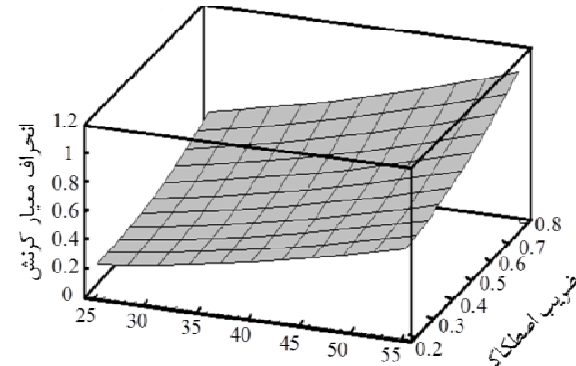
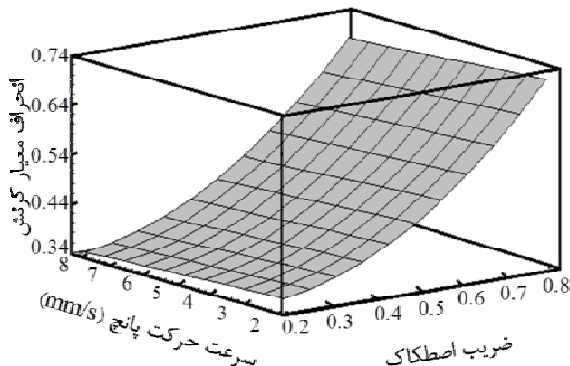
در شکل ۷ معادلات و سطوح پاسخ مربوط به هریک از توابع هدف بر حسب متغیرهای طراحی نشان داده شده است. در هریک از این سطوح، یکی از متغیرهای طراحی در مقدار میانگین خود به صورت ثابت باقی می‌ماند و دو متغیر دیگر در محدوده مجاز تعیین شده تغییر می‌یابند. بدغایون مثال برای رسم سطح کرنش میانگین بر حسب زاویه اکستروژن و ضریب اصطکاک، سرعت حرکت پانچ در مقدار میانگین خود ۵ (mm / s) ثابت باقی می‌ماند و زاویه اکستروژن و ضریب اصطکاک در محدوده خود تغییر می‌کنند.

با بررسی سطوح شکل ۷ مشاهده می‌شود که تغییر زاویه اکستروژن و ضریب اصطکاک، هر سه تابع هدف را

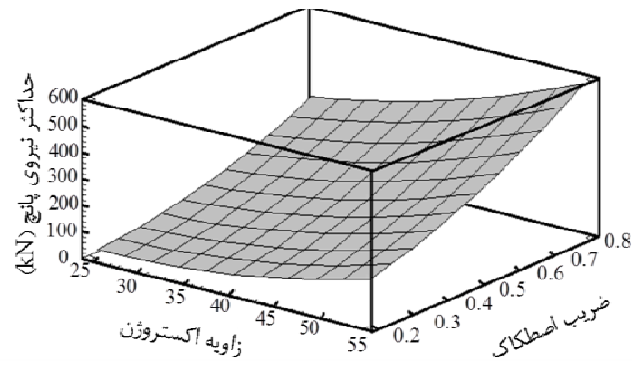
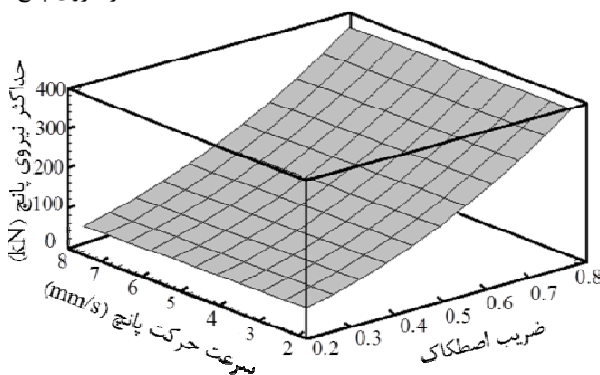
$$\text{کرنش معادل پلاستیک} = 0.9443 - 0.0285A - 1.861B - 0.0155C + 0.00052A^2 + 0.0368AB + 351489AC + 135463B^2 + 186257BC - 0.000121C^2$$



$$\text{انحراف معيار کرنش} = 0.2306 - 0.00249A - 0.5433B - 0.00904C + 0.000161A^2 + 0.00943AB + 0.000155AC + 0.775B^2 - 0.00289BC - 0.0000104C^2$$



$$\text{حداکثر نیروی پانج} = 215.44 - 11.0656A - 324.696B - 5.488C + 0.1691A^2 + 9.10484AB + 0.112783AC + 504.609B^2 - 0.0250243BC - 0.03459C^2$$

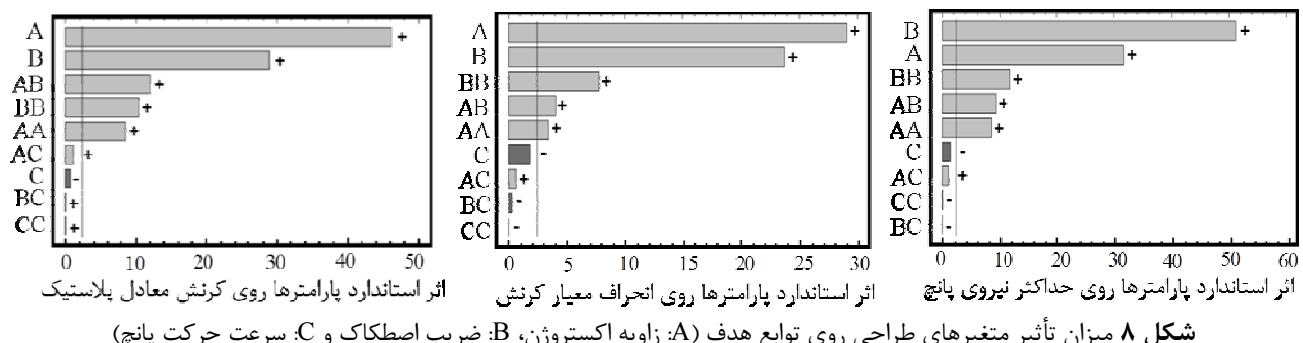


شکل ۷ سطوح پاسخ مربوط به متغیرهای طراحی (A: زاویه اکستروژن، B: ضریب اصطکاک و C: سرعت حرکت پانج)

است. اگر نوار از خط میزان عمودی رسم شده عبور کند نشان می‌دهد که پارامتر مربوطه تأثیر قابل توجهی در پاسخ نهایی دارد. پارامترهایی که رابطه‌ای مستقیم با پاسخ مربوطه دارند با علامت مثبت و پارامترهایی که رابطه‌ای عکس با پاسخ دارند با علامت منفی در جلوی نوار مربوطه مشخص شده‌اند.

برای بررسی دقیق‌تر و تعیین اثر واکنش متقابل متغیرهای طراحی در پاسخ نهایی، دیاگرام پارتیو برای هریک از توابع هدف بوسیله نرم‌افزار آماری استات گرافیکس^۱ در شکل ۸ رسم شده است. طول هریک از نوارها متناسب با میزان تأثیر آن پارامتر روی پاسخ نهایی

1. Statgraphics



شکل ۸ میزان تأثیر متغیرهای طراحی روی توابع هدف (A: زاویه اکستروژن، B: ضریب اصطکاک و C: سرعت حرکت پانچ)

۱- قرار دارد. از مقادیر فوق می‌توان برای ساخت قالب اکستروژن پیچشی، انتخاب نوع روانکار و تنظیم سرعت حرکت پانچ برای اکستروژن پیچشی آلومینیوم استفاده کرد.

۲- کرنش پلاستیک مؤثر، میزان همگنی کرنش و حداکثر نیروی مورد نیاز برای پانچ، به طور مستقیم با زاویه اکستروژن قالب و ضریب اصطکاک و به طور معکوس با سرعت بارگذاری رابطه دارند.

۳- زاویه اکستروژن و ضریب اصطکاک به ترتیب بیشترین تأثیر را روی کرنش مؤثر میانگین و انحراف معیار کرنش دارند. تأثیر گذارترین پارامترها بر حداکثر نیروی مورد نیاز پانچ نیز به ترتیب ضریب اصطکاک و زاویه اکستروژن می‌باشد. سرعت بارگذاری نیز در دمای اتاق، کمترین تأثیر را در بین متغیرهای طراحی دارد.

۴- می‌توان انتظار داشت با افزایش دمای اکستروژن و تغییر جنس بیلت (به موادی که حساسیت بیشتری به نرخ کرنش داشته باشند)، سرعت اکستروژن تأثیر بیشتری بر خواص نهایی ماده اکستروژ شده داشته باشد.

۸- مراجع

- [1] BeygelzimerY., “Grain Refinement Versus Voids Accumulation During Severe Plastic Deformations of Polycrystals: Mathematical Simulation”, *Mechanics of Materials*, Vol. 37, No. 7, 2005, pp. 753-767.
- [2] Segal V.M., “Severe Plastic Deformation: Simple Shear Versus Pure Shear”, *Materials Science and Engineering: A*, Vol. 338, No. 1, 2002, pp. 331-344.
- [3] Valiev R.Z.Aleksandrov I.V., “Nanostructured Materials Produced by Severe Plastic Deformation [in Russian], Moscow”, *Logos*, 2000.
- [4] Beygelzimer, Y., Varyukhin, V., Synkov, S., Orlov, D., “Useful Properties of Twist Extrusion”, *Materials Science and Engineering: A*, Vol. 503,

بررسی دیاگرام‌های پارتو نشان می‌دهد که زاویه اکستروژن و ضریب اصطکاک به ترتیب بیشترین تأثیر را روی کرنش مؤثر میانگین و انحراف معیار کرنش دارند. تأثیر گذارترین پارامترها بر حداکثر نیروی اکستروژن نیز به ترتیب ضریب اصطکاک و زاویه اکستروژن می‌باشد. هم چنین مشهود است که اثر متقابل بین این دو پارامتر نیز بر هر سه تابع هدف قابل ملاحظه است. به عنوان مثال اثر متقابل بین زاویه اکستروژن و ضریب اصطکاک که با علامت AB در هر سه نمودار مشخص شده قابل ملاحظه است. در هر سه نمودار، نقش سرعت حرکت پانچ در پاسخ نهایی اندک است و رابطه‌ای معکوس با پاسخ دارد. بنابراین می‌توان گفت که سرعت حرکت پانچ در دمای محیط، نقش کمتری در نحوه ایجاد کرنش و نیروی اکستروژن دارد.

۷- خلاصه و نتیجه‌گیری

در این مقاله بهینه‌سازی چند هدفه فرایند اکستروژن پیچشی با ترکیب شبکه عصبی مصنوعی و الگوریتم زنگیک چندهدفه NSGA-II توضیح داده شد. هم چنین از آنالیز سطوح پاسخ، ارتباط بین متغیرهای طراحی و توابع خروجی و هم چنین اهمیت هریک از پارامترهای طراحی بررسی شد. مهم ترین نتایج این تحقیق که برای طراحی فرایند اکستروژن پیچشی در دمای اتاق به دست آمده است عبارتند از:

- ۱- شبکه عصبی به خوبی قادر است تا فرایند اکستروژن پیچشی را مدل‌سازی کند.
- ۲- بهترین محدوده انتخاب برای زاویه اکستروژن قالب، ضریب اصطکاک و سرعت بارگذاری در دمای اتاق به ترتیب در محدوده $[42^\circ, 45^\circ]$, $[0/65, 0/72]$ و

- [15]Beygelzimer, Yan, Dmitry Orlov, and Victor Varyukhin., “A New Severe Plastic Deformation Method: Twist Extrusion”, *Ultrafine Grained Materials II*(as held at the 2002 TMS Annual Meeting), pp. 297-304. 2002.
- [16]Deb, K., “Multi-Objective Optimization”, *Multi-Objective Optimization using Evolutionary Algorithms*, 2001, pp. 13-46.
- [17]Holland, J. H., *Adaptation in Natural and Artificial Systems: An Introductory Analysis with Applications to Biology, Control, and Artificial Intelligence*, University of Michigan Press, 1975.
- [18]Konak, A., Coit, D.W., Smith, A.E., “Multi-Objective Optimization using Genetic Algorithms: A Tutorial”, *Reliability Engineering & System Safety*, Vol.91, No. 9, 2006, pp. 992-1007.
- [19]Zitzler, E., Deb, K., Thiele, L., “Comparison of Multiobjective Evolutionary Algorithms: Empirical Results”, *Evolutionary Computation*, Vol. 8, No. 2, 2000, pp. 173-195.
- [20]Hans Raj, K., Sharma, R.S., Srivastava, S., Patvardhan, C., “Modeling of Manufacturing Processes with ANNs for Intelligent Manufacturing”, *International Journal of Machine Tools and Manufacture*, Vol. 40, No. 6, 2000, pp. 851-868.
- [21]Di Lorenzo, R., Ingarno, G., Micari, F., “On the use of Artificial Intelligence Tools for Fracture Forecast in Cold Forming Operations”, *Journal of Materials Processing Technology*, Vol. 177, No. 1, 2006, pp. 315-318.
- [22]Kim, D. J. Kim, B.M., “Application of Neural Network and FEM for Metal Forming Processes”, *International Journal of Machine Tools and Manufacture*, Vol. 40, No. 6, 2000, pp. 911-925.
- [23]Chan, W. L., Fu, M. W., Lu, J., “An Integrated FEM and ANN Methodology for Metal-Formed Product Design”, *Engineering Applications of Artificial Intelligence*, Vol. 21, No. 8, 2008, pp. 1170-1181.
- [24]Blasco, X., Herrero, J. M., Sanchis, J., Martinez, M., “A New Graphical Visualization of N-Dimensional Pareto front for Decision-Making Inmultiobjective Optimization”, *Information Sciences*, Vol. 178, No. 20, 2008, pp. 3908-3924.
- No. 1, 2009, pp. 14-17.
- [5]AkbariMousavi, S. A. A., Shahab, A. R., Mastoori, M., “Computational Study of Ti_6Al_4V Flow Behaviors During the Twist Extrusion Process”, *Materials & Design*, Vol. 29, No. 7, 2008, pp. 1316-1329.
- [6]Orlov, D., Beygelzimer, Y., Synkov, S., Varyukhin, V., Horita, Z., “Evolution of Microstructure and Hardness in Pure Al by Twist Extrusion”, *Materials Transactions*, Vol. 49, No. 1, 2008, pp. 2-6.
- [7]Orlov, D., Beygelzimer, Y., Synkov, S., Varyukhin, V., Tsuji, N., Horita, Z., “Microstructure Evolution in Pure Al Processed with Twist Extrusion”, *Materials Transactions*, Vol. 50, No. 1, 2009, pp. 96.
- [8]Orlov, D., Beygelzimer, Y., Synkov, S., Varyukhin, V., Tsuji, N., Horita, Z., “Plastic Flow, Structure and Mechanical Properties in Pure Al Deformed by Twist Extrusion”, *Materials Science and Engineering: A*, Vol. 519, No. 1, 2009, pp. 105-111.
- [9]Shahab A.R., Akbari Mousavi S.A.A., Mastoori M., Proceeding of International Symposium on Bulk Nano Structured Materials: from Fundamentals to Innovations BNM, Ufa, Russia, 2007, pp. 205-207.
- [10]Akbari Mousavi, S.A.A., Ranjbar Bahadori, S., Shahab, A.R., “Numerical and Experimental Studies of the Plastic Strains Distribution using Subsequent Direct Extrusion after Three Twist Extrusion Passes”, *Materials Science and Engineering: A*, Vol. 527, No. 16, 2010, pp. 3967-3974.
- [11]Latypov, M. I., Alexandrov, I. V., Beygelzimer, Y. E., Lee, S., Kim, H.S., “Finite Element Analysis of Plastic Deformation in Twist Extrusion”, *Computational Materials Science*, Vol. 60, 2012, pp. 194-200.
- [12]Skrotzki, W., Scheerbaum, N., Oertel, C.G., Brokmeier, H.G., Suwas, S., Toth, L.S., “Recrystallization of High-Purity Aluminium during Equal Channel Angular Pressing”, *ActaMaterialia*, Vol. 55, No. 7, 2007, pp. 2211-2218.
- [13]WangL., Yang H., “Friction in Aluminium Extrusion-Part 2: A Review of Friction Models for Aluminium Extrusion”, *Tribology International*, 2012.
- [14]Berta, Marco, Dmitry Orlov, and Philip B. Prangnell., “Grain Refinement Response during Twist Extrusion of an Al-0.13% Mg Alloy”, *International Journal of Materials Research* Vol. 98, No. 3, 2007, pp. 200-204.